

## 6 Superfícies de revolució

En el seminari d'aquesta setmana farem servir Sage (<http://sagemath.org>) per treballar amb superfícies. Podeu trobar a

[http://doc.sagemath.org/html/en/reference/riemannian\\_geometry/index.html](http://doc.sagemath.org/html/en/reference/riemannian_geometry/index.html)

instruccions i exemples per fer càlculs amb superfícies parametritzades.

Al final del document trobareu un exemple complet, si voleu podeu començar per aquí o bé anar quan calgui.

**Exercici 6.1.** Sigui  $(a(u), b(u))$  una corba plana parametritzada per l'arc. Considerem la superfície de revolució  $S$  parametritzada per  $\varphi(u, v) = (a(u) \cos v, a(u) \sin v, b(u))$ . Calculeu els coeficients de la primera i segona forma fonamental de  $S$  en aquesta parametrització i comproveu que la curvatura de Gauss de  $S$  ve donada per

$$K(u, v) = -\frac{a''(u)}{a(u)}. \quad (6.1)$$

**Solució:** Farem servir Sage.

```
> var('u,v,t,c',domain='real'); function('a,b');
> srevolucio = ParametrizedSurface3D((a(u)*cos(v),a(u)*sin(v),b(u)), (u, v), 'Superficie
de Revolucio');
> srevolucio.first_fundamental_form_coefficients();
> srevolucio.first_fundamental_form_coefficient((1,1));
> srevolucio.second_fundamental_form_coefficients();
> srevolucio.second_fundamental_form_coefficient((1,1));
> K = srevolucio.gauss_curvature();
> K.simplify_full();
```

**Exercici 6.2.** Particularitzeu-ho al cas d'un tor de revolució i d'una esfera. Feu els dibuixos amb Sage.

**Solució:** Podem fer, pel tor  $a(u) = R + r \cos(u/r)$  i  $b(u) = r \sin(u/r)$  llavors

```
> var('R,r');
> tor = ParametrizedSurface3D(((R+r*cos(u/r))*cos(v),(R+r*cos(u/r))*sin(v),r*sin(u/r)),
(u, v), 'Tor');
> Ktor = tor.gauss_curvature();
```

Simplifiquem i obtenim que la curvatura de Gauss és  $\frac{1}{r} \cos(\frac{u}{r}) / (R + r \cos(u/r))$ . És positiva per la part exterior, negativa per la interior i zero quan  $u = \pm\pi/2r$ , els paral·lels superior e inferior. Per l'esfera:

```
esfera = ParametrizedSurface3D((r*cos(u/r)*cos(v),r*cos(u/r)*sin(v),r*sin(u/r)), (u,
v), 'Esfera');
```

```
KE = esfera.gauss_curvature();
```

Simplificant obtenim  $1/r^2$ .

També podem trobar les curvatures principals:

```
PTor=tor.principal_directions();
```

```
k1Tor=PTor[0][0]; k2Tor=PTor[1][0];
```

Fem dibuixos.

```
> tor12 = ParametrizedSurface3D(((2+cos(u))*cos(v),(2+cos(u))*sin(v),sin(u)), (u, v), 'Tor');
> tor12.plot((0,2*pi), (0,2*pi),aspect_ratio=1, mesh=True, color='orange');
```

**Exercici 6.3.** Ens proposem obtenir i dibuixar superfícies de revolució que tinguin curvatura de Gauss constant  $K \equiv 1$ . Per la igualtat (6.1), això es redueix a resoldre l'equació diferencial  $a''(u) = -a(u)$ . Comproveu que, llevat d'un canvi  $u \rightarrow u + C$ , les solucions són totes de la forma

$$a(u) = c \cos(u), \quad b(u) = \int_0^u \sqrt{1 - c^2 \sin^2(t)} dt$$

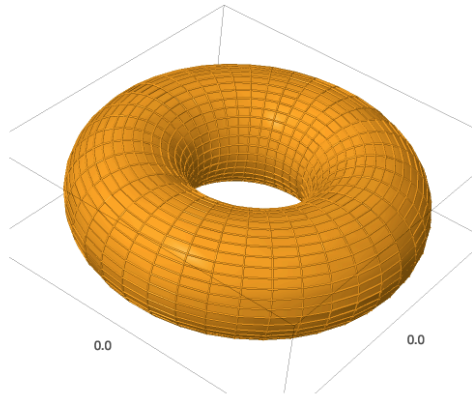


Figura 6.6: Tor

on la segona expressió prové de la suposició  $a'(u)^2 + b'(u)^2 = 1$  (i.e.  $u$  és paràmetre arc). Proveu que la correspondència latitud =  $u$ , longitud =  $cv$  defineix una isometria entre un obert de la superfície anterior i un obert de l'esfera unitat.

**Solució:** Cal resoldre  $a'' + a = 0$ , és clar que les solucions són de la forma  $A \cos(u) + B \sin(u) = \sqrt{A^2 + B^2} \cos(u + \varphi)$ . Podem suposar que  $a(u) = c \cos(u)$  amb  $c > 0$ . Llavors  $b'(u)^2 = 1 - c^2 \sin^2(u)$ . Triem la constant d'integració de manera que  $b(0) = 0$ , llavors

$$b(u) = \int_0^u \sqrt{1 - c^2 \sin^2(t)} dt.$$

Això és una integral el·líptica, existeix una funció en Sage que la implementa. En aquest cas  $b(u) = \text{elliptic.e}(u, c^2)$ . Tenim tres casos interessants:  $c = 1, c < 1, c > 1$ . En el primer cas tenim l'esfera de radi 1, en el segon cas un 'fus' i en el tercer una 'gorra de cop' (xixonera). En els dos primers casos l'argument  $u$  pot anar de  $-\pi/2$  a  $\pi/2$  en el tercer, per evitar arrels de nombres negatius, tenim  $|u| \leq \arcsin(1/c)$ . Fem dibuixos.

```
> xixo = ParametrizedSurface3D((2*cos(u)*cos(v), 2*cos(u)*sin(v), elliptic_e(u,4)),
((u,-arcsin(1/2),arcsin(1/2)), (v,0,2*pi)), 'Xixonera');
> fus = ParametrizedSurface3D((1/2*cos(u)*cos(v), 1/2*cos(u)*sin(v), elliptic_e(u,1/4)),
((u,-pi/2,pi/2), (v,0,2*pi)), 'Fus');
> X=xixo.plot(mesh=True, color='red', aspect_ratio=1)
> F=fus.plot(mesh=True, color='blue', aspect_ratio=1);
> X+F;
```

Estudiem les isometries entre un troç d'esfera i un troç de la superfície donada per les  $a(u), b(u)$  trobades. Quan  $c = 1$  és la mateixa superfície.

Fem el cas  $c > 1$ . Sigui l'obert  $U = (-\arcsin(1/c), \arcsin(1/c)) \times (0, 2\pi/c)$  les parametritzacions  $\varphi(u, v) = (a(u) \cos v, a(u) \sin v, b(u))$  i  $\tilde{\varphi}(u, v) = (\cos(u) \cos(cv), \cos(u) \sin(cv), \sin(u))$  cobreixen respectivament un obert de l'esfera i un obert de la 'xixonera'. Per aquestes parametritzacions les primeres formes fonamentals adopten la forma

$$g = \begin{pmatrix} 1 & 0 \\ 0 & c^2 \cos^2(u) \end{pmatrix}.$$

Aquests oberts són llavors isomètrics. Veiem a quina part de l'esfera i a quina part de la 'xixonera' corresponen. Són bandes com es veuen al dibuix (en verd l'esfera) Si  $c < 1$  considerem l'obert  $U = (-\pi/2, \pi/2) \times (0, 2\pi)$ . Mirem el gràfic.

**Exercici 6.4.** La integral  $b(u) = \int_0^u \sqrt{1 - c^2 \sin^2(t)} dt$  és una integral el·líptica, existeix una funció en Sage que la implementa. En aquest cas  $b(u) = \text{elliptic.e}(u, c^2)$ . Tenim tres casos interessants:  $c = 1, c < 1, c > 1$ .

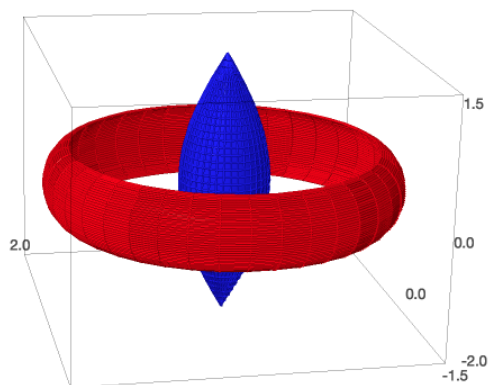


Figura 6.7: Curvatura +1

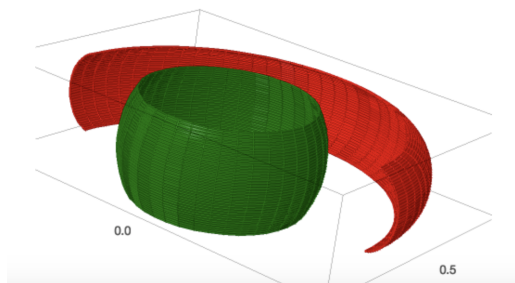


Figura 6.8: Isometria  $c > 1$

- Determineu el domini de la variable  $u$  segons el valor de  $c$ .
- Dibuixeu les superfícies pels diferents casos (en el primer cas tenim l'esfera de radi 1, en el segon cas un 'fus' i en el tercer una 'gorra de cop' (xixonera).)

**Exercici 6.5.** Utilitzeu l'estratègia anterior per a obtenir i dibuixar superfícies de revolució amb curvatura de Gauss constant  $K \equiv -1$ . El cas  $a(u) = e^{-u}$  és conegut amb el nom de *pseudoesfera*.

**Solució:** Ara cal resoldre l'equació  $a'' - a = 0$ . Les solucions són de la forma  $a(u) = Ae^{-u} + Be^u$  triem  $a(u) = e^{-u}$ . Ho posem al Sage amb

$$b(t) = \int_0^u \sqrt{1 - e^{-2t}} dt = \frac{1}{2} \log \left( \frac{1 + \sqrt{1 - e^{-2u}}}{1 - \sqrt{1 - e^{-2u}}} \right) - \sqrt{1 - e^{-2u}}$$

```
> Bb(u)=(1/2)*log((1+sqrt(1-e^(-2*u)))/(1-sqrt(1-e^(-2*u))))-(sqrt(1-e^(-2*u)));
> tractriu=ParametrizedSurface3D((e^(-u)*cos(v),e^(-u)*sin(v),Bb(u)), (u, v),'Tractriu');
> KTr=tractriu.gauss_curvature(); KTr.simplify_full();
> tractriu.plot((0,2),(0,2*pi),mesh=True, color='pink',aspect_ratio=1);
```

**Exercici 6.6.** Determineu les superfícies de revolució desenvolupables, és a dir, reglades amb curvatura de Gauss  $K \equiv 0$ .

**Solució:** És clar, ja que  $a'' = 0$ , que les corbes  $(a(u), b(u))$  són rectes i les superfícies que obtenim són troços de con.

**Exercici 6.7.** Utilitzeu l'exercici 6.1 per donar una expressió de la curvatura mitjana  $H = \frac{1}{2} \text{tr}(-dN)$  d'una superfície de revolució. Ho podeu fer també amb Sage. Comproveu que la catenoi-

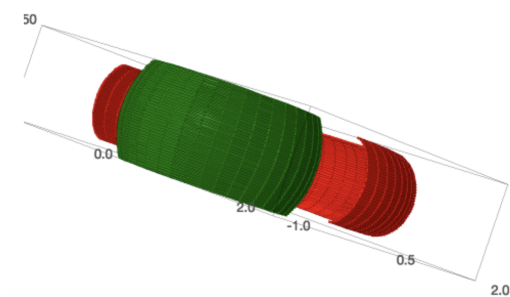


Figura 6.9: Isometria  $c > 1$

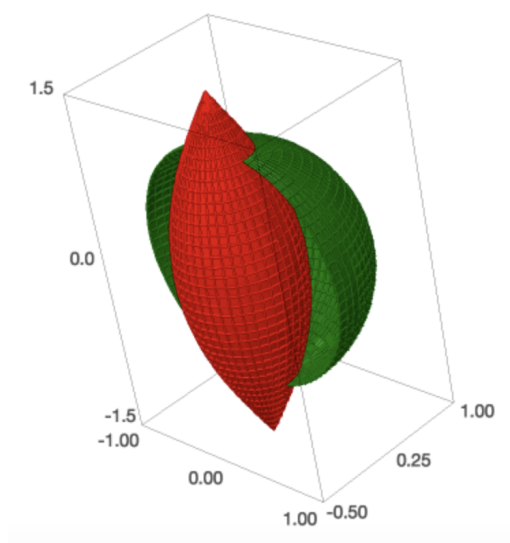


Figura 6.10: Isometria  $c < 1$

de  $\sqrt{x^2 + y^2} = \cosh z$ , superfície de revolució obtinguda al girar la catenària, té curvatura mitjana nula (és una superfície mínima).

**Solució:** Fem-ho amb Sage. Ara ho provem amb una parametrització en la qual la corba no sigui de velocitat constant. Parametritzem amb  $\varphi(u, v) = (\cosh(u) \cos(v), \cosh(u) \sin(v), u)$ . Observem que la catenoide ja està incorporada a Sage:

```
> catenoide=surface.Catenoid(); catenoide;
> catenoide.mean_curvature();
> catenoide.plot();
```

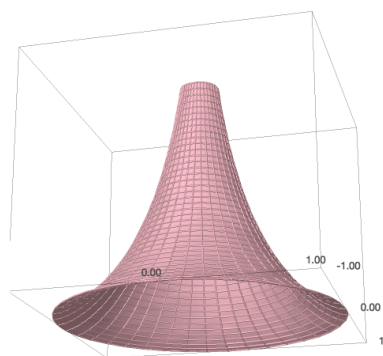


Figura 6.11: Pseudoesfera

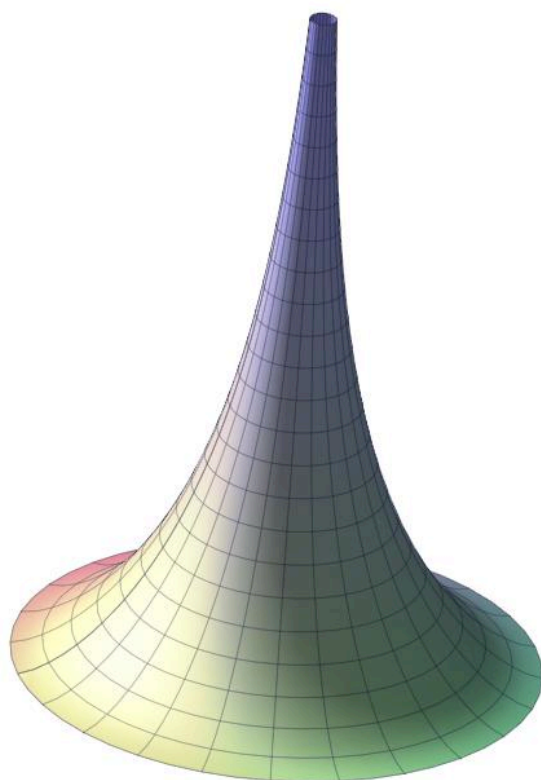


Figura 6.12: Pseudoesfera

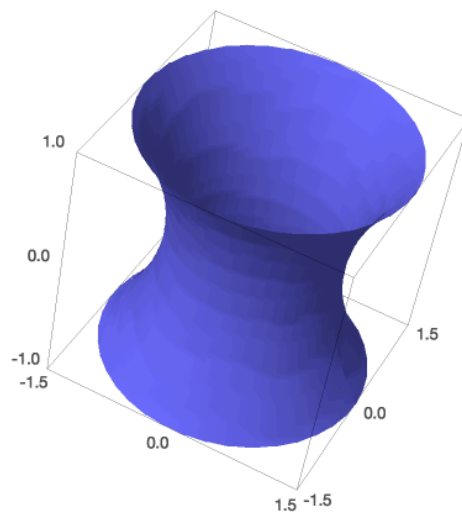


Figura 6.13: Catenoide